

## LB 초박막의 전압발생

° 권 영 수  
동아대 교수

강 도 열  
홍익대 교수

Generation of Open Circuit Voltage  
in LB Ultra Thin Films

Young-Soo Kwon<sup>o</sup>  
Dept. of Electrical Eng., Dong A Univ.

Dou-Yol Kang  
Dept. of Electrical Eng., Hong Ik Univ.

## Abstract

Langmuir-Blodgett(LB) films of arachic acid and TCNQ(tetracyanoguinodimethane) were prepared in the sample of Al/LB film/Al type where Al are electrodes, and polarization in LB film and dipolar moment of molecules in the films were measured by thermally stimulated current(TSC).

It is ascertained in our experiments that dipolar moment of C<sub>12</sub>TCNQ molecule was about 13-15 debye and the moment was directed from the alkyl chain toward TCNQ.

Generation of the open circuit voltage was investigated on the z-type and Hetero structure of LB films.

## 1. 서론

Langmuir-Blodgett(LB)법은, 인공적으로 유기분자의 배열을 제어 가능함으로 분자고유의 성질을 나타낼 수 있는 방법으로써, 최근 분자 디바이스의 구축소재(構築素材)로서 가장 기대되고 있는 기술 중의 하나이다.

LB 초박막은 여러 기능이 기대되어 많은 연구가 행하여지고 있지만, 특히 초박막이라는 점에서 용이가 있는 소재(素材)일 것으로 생각된다. 반도체·자성체에 있어서도 초박막학가 진행 중이지만 수 A의 초박막을 제작하는데는 유전체인 LB 막이 가장 유력한 방법으로 그 Speed 또한 가장 빠르다고 생각된다.

필자들 1), 2)은 LB 법 중에서 분자가 어느 한 방향으로 배열 가능한 Z형 막 혹은 Hetero 구조 LB 막을 제작하여 외부로 부터의 전입인가 없이도 LB 막 중에 대단히 큰 분극을 발생하여 LB 막 중에 내장전계를 형성하는 LB 막 특유의 세로운 현상이 있다는 사실을 제안하였으며 실험을 통하여 확인하였다.

LB 막의 경우, 양 전극 사이에 Sandwich 된 LB 막에는 원인 불명의 기전력이 발생하는 경우가 많고 발생기전력은 온도에 의해 변화하는 등 LB 막의 전기적 특성에 커다란 영향을 미치는 것이 예상되고 있다.

본 연구에서는 Z형 막 및 Hetero 구조의 LB 막을 제작하여 LB 막에서 발생하는 기전력(개방전압 혹은 발생전압)을 실험적으로 측정·검토하였다.

## 2. 시료제작

본 연구에서 사용한 시료는 arachic acid 및 장쇄 alkyl기를 불인 TCNQ(C<sub>12</sub>TCNQ)를 성막분자로 하는 2종류의 LB 막이다. 이들의 분자구조는 그림 1과 같다. arachic acid는 말단기 -COOH 부분이 친수성이고 다른 부분이 소수성이다. C<sub>12</sub>TCNQ에서는 장쇄 alkyl기(C<sub>12</sub>)의 부분이 소수성이며, TCNQ 부분이 친수성으로 되어있다. 분자의 길이는 arachic acid 및 C<sub>12</sub>TCNQ 가 약 27.5 Å 정도로써 LB 막으로 배열시킨 경우에도 이론치와 실측치가 잘 일치하고 있음을 이미 확인하였다.<sup>3)</sup>

LB 막의 누적은 통상의 방법으로 행하였으며 성막분자를 수면상에 전개하여 제작하였다. 1), 2) 막 누적은 제 1 층의 친수성 부분이 먼저 하부전극에 볼도록 누적하였다. 누적후 막을 잘 건조시켜서 직경 5mm의 원형 Al 을 상부전극으로서 진공 증착하였다. 이때 하부전극은 현미경 Slide Glass 기판에 Al 을 증착한것을 사용하였다. 따라서, 하부 Al 전극에는 LB 막을 누적하기전에 이미 자연산화로 인해 Al<sub>2</sub>O<sub>3</sub>층이 형성되어 있으며 Al<sub>2</sub>O<sub>3</sub> 산화 막의 두께는 약 30 Å - 50 Å 정도이었다. 그림 2 에 LB 막의 분자 배열을 나타내었다.

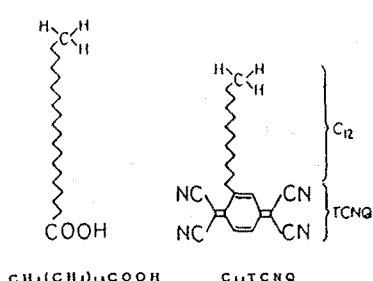


그림 1. LB막 성막분자의 구조

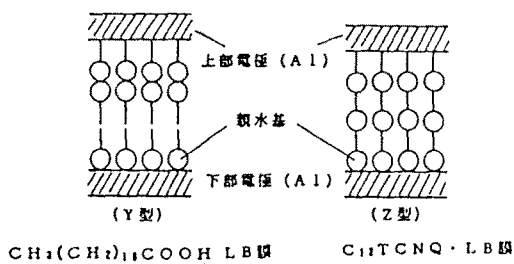


그림 2. LB막의 분자배열

### 3. LB 막의 쌍국자 농률과 본국

그림 3에 LB 막의 누적 충수와 용탕 C의 억수 사이의 관계를 나타내었다. 용탕 C의 억수와 누적 충수  $n$  사이의 직선관계로 부터 양호한 막의 누적을 알 수 있으며  $1/C$  축의 절편이  $A1_2O_3$  막의 용탕에 의한 것으로써  $A1_2O_3$ 의 비유전율을 8로서 계산하면  $A1_2O_3$  산화막의 두께가  $35\text{ \AA}$  이 되는것이 다른 실험에 의해서도 확인되었다.<sup>3)</sup> 또한, arachicacid LB 막 시료 및 다른 Hetero 구조의 시료에 대해서도 그림 3과 같은 직선관계가 얻어지며 LB 막의 누적이 양호한 것을 확인할 수 있었다.<sup>3)</sup>

한편, LB 막의 성막 분자는 친수성 부분과 소수성 부분으로 되어있기 때문에 필연적으로 유극성 분자이기 마련이다. 더우기 Z 형 막으로 누적된 때에는 LB 막의 쌍극자 모멘트가 합쳐진 상태로 됨으로 LB 막은 대단히 큰 분극을 갖게 된다.  $C_{12}TCNQ$  분자는 Z 형 LB 막으로 누적되었으므로 하부전극 A1의 자연산화막을 고려하면 결국 A1/ $Al_2O_3/C_{12}TCNQ/A1$  소자가 된다. 이 소자에서 Al-Al의 양 전극을 단락시키면 그림 4와 같이 Hetero 막 내에 매우 큰 전계를 발생할 것으로 생각된다. 이 전계를 평가하기 위해 먼저 TSC에 의한 측정을 하였다. 그림 5는 TSC 측정결과로서 활성화 에너지가 0.4~0.5 eV 가 얻어졌다.

LB 막 내에서 TCNO 성막 분자에 작용하는 전계를  $E_x$ 로 하여 분자의 쌍극자 모멘트를  $\mu_v$  막 하면, TSC의 활성화 에너지  $H$ 와의 사이에

$$H = 2 \mu v E_1 \quad (1)$$

의 관계가 성립하게 된다.<sup>1)</sup>  $E_z$  를  $\mu_V$  에 의해서 만 들어진 Lorentz 전계로 보고 계산하면  $\mu_V = 13 \sim 15$  debye 가 얻어진다. 또한 TCNQ 는 친수성 부분이 정극 (+)인 쌍극자이라는 것도 알 수 있었다. 따라서 본 국  $\pm P$  는 그림 4 와 같이 막 내에 생긴 전계  $E$ ,  $E'$  의 크기는  $5 \times 10^6$  V/cm 정도로 평가되었다.

이 전계는 이 소자의 Schottky 효과를 측정 하여도 평가할 수 있었다. Schottky 효과의 측정 결과, 측정 결과만을 이용 계산한 TCNQ의 비유전율은 표 1에 나타낸 것처럼  $E_F = 9 \sim 10$ 으로써 용탕측정 결과로부터 얻어진 비유전율보다 상당히 큰 값이었다. 그러나,

그림 4에 나타낸 전계  $E$ 의 평가 값을 전압  $V_0$ 로 환산하여  $\varepsilon_r$ 을 구하면  $\varepsilon_r = 4.0 \sim 4.5$ 로서 용량 실측치와 비슷한 값을 얻을 수 있었다.

이와 같이 LB 막 Hetero 구조에서는 상당히 깊은 Potential Well이 형성될 것으로 생각된다.<sup>3)</sup>

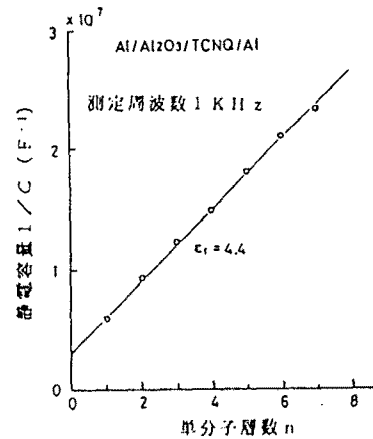


그림 3. LB막의 누적증수와 정전용량과의 관계

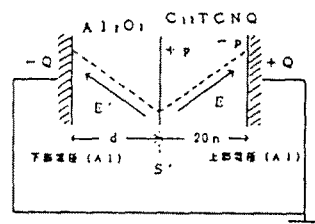


그림 4. LB막 내의 내장전계 발생

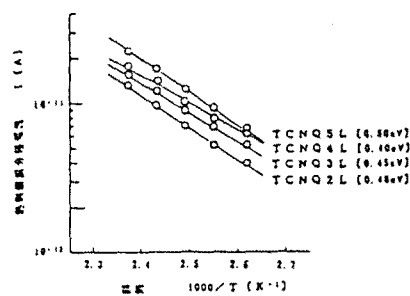


그림 5. Al/Al<sub>2</sub>O<sub>3</sub>/TCNQ/Al의 TSC

## 4. LB 막 MIM 소자의 발생전압

LB 막 MIM 소자에는 전압 발생 현상이 관측되어 많은 연구자는 화학 반응의 일종으로 생각하고 있다.<sup>3), 4)</sup>

그러나, 필자 등의 측정 결과, 화학 반응으로는 설명이 곤란한 현상이 관측 되었다.

그림 6은 약 2년간 측정한 이 소자의 단락 전류와 발생 전압의 일례이다.

그림 7은 Al의 산화반응을 제거한 소자의 발생 전압을 표시하였다. 그림 6과 그림 7의 결과는 화학 반응에 의한 것으로는 설명하기 곤란한 현상의 하나라고 생각된다. 상세한 것은 현재 검토 중이다.

## 5. 결 론

LB 막을 이용, 성막 분자의 쌍극자 능률과 분극을 TSC로 평가하였다. LB 막의 경우 전압이 발생하는 특이한 현상을 실험에 의해 확인하였다.

## 참 고 문 헌

- 1) T.Hino, Y.S.Kwon & D.Y.Kang, " 열자각 전류에 의한 LB 막의 분극 측정 ", 일본전기학회 논문 A 107, 407, (1987)
- 2) Y.S.Kwon & T.Hino, " LB 막 Hetero 구조에서 내장전계의 발생 ", 일본전기학회논문 A 108, 66, (1988)
- 3) Y.S.Kwon, " Ph.D. dissertation ", Tokyo Institute of Technology, JAPAN, (1987)
- 4) W.L.Procarione & J.W.Kauffman, " The Electrical Properties of Phosphalipid Bilayer Langmuir Films ", Chemistry and Physics of Lipids 12, 251, (1974)

표 1. 내장전계를 고려하여 Schottky Plot로 부터 구한 비유전율

试料 LB膜 厚度 L	L B膜 内蔵電圧 $v_0$ (前報(1) 計算値)	比誘電率 $\epsilon_r$ ( $V = v_0$ 時)	比誘電率 $\epsilon_r$ ( $V = v + v_0$ 時)
2 L	1. 9 6	9. 9	4. 4
3 L	1. 8 6	9. 6	4. 3
4 L	1. 7 6	10. 3	4. 5
5 L	2. 0	9. 8	4. 0
6 L	2. 1 6	9. 6	4. 2

(注)  $v_0$  은 시료로 부터 구한  $C_{12}TCNO$  쌍극자 능률에 LB 막의 두께를 고려하여 구한 값이다.

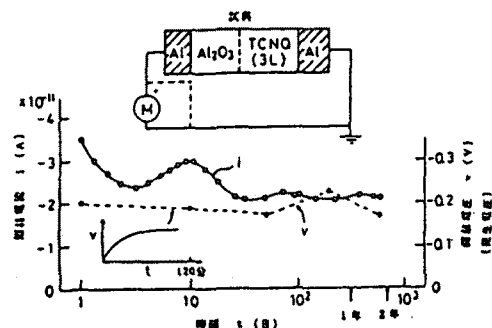


그림 6. 발생전압과 단락전류

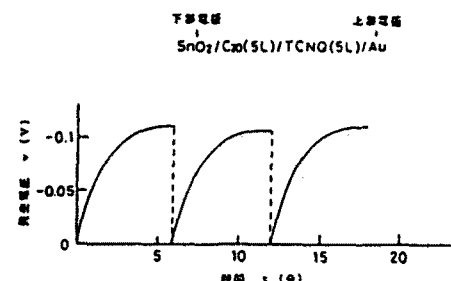


그림 7. 발생전압